

بِسْمِ اللّٰهِ الرَّحْمٰنِ الرَّحِيْمِ



مدیریت تحصیلات تکمیلی

### تعهدنامه اصالت اثر

اینجانب امید بهرامی متعهد می‌شوم که مطالب مندرج در این پایان‌نامه که حاصل کار پژوهشی اینجانب است و دستاوردهای پژوهشی دیگران که در این پژوهش از آنها استفاده شده‌است، مطابق مقررات ارجاع و در فهرست منابع و مأخذ ذکر گردیده است. این پایان‌نامه قبلًا برای احراز هیچ مدرک هم سطح یا بالاتر ارایه نشده است. در صورت اثبات تخلف (در هر زمان) مدرک تحصیلی صادر شده توسط دانشگاه از اعتبار ساقط خواهد شد.

کلیه حقوق مادی و معنوی این اثر متعلق به دانشگاه تربیت دبیر شهید رجایی می‌باشد.

نام و نام خانوادگی دانشجو

امید بهرامی

امضام

---

تهران - لویزان - کد پستی ۱۶۷۸۸ - صندوق پستی ۱۶۳ - ۱۶۷۸۵ تلفن ۰۹-۰۶۰-۲۲۹۷۰۰۶۰ (داخلی ۲۳۴۷)  
نما بر: ۱۱ ۰۰۹۷۰۰۲۲ پست الکترونیکی: sru@sru.ac.ir



دانشکده علوم پایه

## جایزیدگی امواج در ابر شبکه‌های متأ مواد

دانشجو

امید بهرامی

استاد راهنما: دکتر ایوب اسماعیل پور

پایان نامه برای دریافت درجه کارشناسی ارشد

در رشته فیزیک-حالت جامد

آسفند ۱۳۹۰

شماره: ۱۰۱۶۸۸۴  
تاریخ: ۹۱/۳/۳  
پیوست:



پیوست

دانشگاه تربیت دیمکتی و عالی

### صور تجلیس دفاع پایان نامه تحصیلی دوره کارشناسی ارشد

با تأییدات خداوند متعال و با استعانت از حضرت ولی عصر (عج) جلسه دفاع از پایان نامه کارشناسی ارشد آقای امید بهرامی رشته فیزیک تحت عنوان جایگزینی امواج در ابر شبکه های متاماد، که در تاریخ: ۹۰/۱۲/۱۷ با حضور هیأت محترم داوران در دانشگاه تربیت دیمکتی شهید رجائی برگزار گردید و نتیجه به شرح زیر می باشد.

قبول (بادرجه بسیار خوب... امتیاز ... ۱۰۰/۸۰...)  دفاع مجدد  مردود

۱- عالی (۱۹-۲۰) لیکه و ششم

۲- بسیار خوب (۱۸-۱۸/۹۹)

۳- خوب (۱۶-۱۷/۹۹)

۴- قابل قبول (۱۴-۱۵/۹۹)

۵- غیرقابل قبول (کمتر از ۱۴)

| اعضاء                  | نام و نام خانوادگی    | مرتبه علمی | امضاء |
|------------------------|-----------------------|------------|-------|
| استاد راهنما           | دکتر ایوب اسماعیل پور | استاد دیار |       |
| استاد داور داخلی       | دکتر جاوید ضمیرانوری  | استاد دیار |       |
| استاد داور خارجی       | دکتر غلامرضا جعفری    | استاد دیار |       |
| نماینده تحصیلات تکمیلی | دکتر مهدی سعادت       | استاد دیار |       |

دکتر ایوب اسماعیل پور  
نماینده تحصیلات تکمیلی

تعدیم:

پیوان راه عشق، رهوان راه حق

آنان که در شب تار دنیا چراغی افروخته‌اند.

تعدیم به روح پاک پدرم که از سرگنجوی و رازدانی، مرابه خدمت دانیان و خوش بینی از خرم اباب

معرفت گذاشت، و به مادر عزیزم که هواره مشوق و پستیان من بوده و طنین کلام شصتم زندگی من است.

## شکر و قدردانی

بی تردید هاگونه که خنده روانی غنچه ها و چمن آرانی گلها، نشان از زیبادوستی و فدای کاری مخصوص ای از اعضا ای هم دارد است، کامیابی حرثرو، شکر نیز در واقع نتیجه بره مندی وی از حیات ها، راهنمایی و اطاف افراد دیگر است. لذاب حکم قدرشناصی و بنای الزام اخلاق علمی، مرتب پاسکداری خود را از تمامی سوراخان ارجمندی که بخوبی در بهتر نشستن این کار سعیم بوده اند، اعلام می دارم.

✓ از استاد محترم راهنمای جناب آقای دکتر ایوب اسماعیل پور که از بدو آشنائی با ایشان به عنوان الگوی شایسته و مشوقی دلوز پیش رویم مجمع بوده اند و در تمام مراحل تهیه و تدوین این پژوهش، همراه از راهنمایی و ارشادات ارزشمندانه بره مند بوده اند بنایت شکر و قدردانی را دارم.

✓ از کلیه استادیگروه فنریک که در طول دوران تحصیل از وجود ایشان بره بوده اند و در مسیر انجام این پیمان نامه از پیچ کلی درین نتیجه اند صمیمانه قدردانی می ناییم.

✓ از کلیه محققان کرامی مرکز پژوهشی بسیادی، به خصوص دوست بزرگوارم آقای حامد شکیبین به خاطر همکاری ای بی دیشان و نیاز کلیه کسانی که در انجام مراحل این تحقیق مبارکی نموده اند کمال شکر را دارم و از درگاه خداوند متعال برای همه این عزیزان آرزوی سر بلندی و موفقیت دارم.

## چکیده

الکترون‌ها در هنگام عبور از ماده توسط ناخالصی‌های موجود در آن پراکنده و با افزایش ناخالصی جایگزینده می‌شوند. بدین ترتیب گذار فلز به عایق اتفاق می‌افتد. این پدیده اولین بار توسط اندرسون مطرح شد و به جایگزیدگی اندرسون معروف است. در این پایان نامه به بررسی جایگزیدگی اندرسون امواج الکترومغناطیسی پرداخته‌ایم. معادلات ماسکول مبنای مطالعه ما قرار گرفته و محیط را ساختاری با دی‌الکتریک‌ها با ضریب تصادفی و ضخامت‌های تصادفی در نظر گرفته‌ایم. روش‌های عددی مختلفی برای بررسی این پدیده وجود دارد که در این پایان‌نامه از ماتریس انتقال استفاده شده است. محیطی با ضریب دی‌الکتریک بی‌نظم و دارای همبستگی بلند برد را که به صورت یک ابرشبکه‌ای با دو نوع دی‌الکتریک که به صورت دوتایی در کنار هم و در مکان‌های تصادفی قرار دارند را مورد بررسی قرار می‌دهیم. این سیستم به روش ماتریس انتقال بررسی شده و نشان می‌دهد که فرکانس‌های مشخصی امکان عبور پیدا می‌کنند. این فرکانس‌ها به مقدار ضریب دی‌الکتریک بستگی دارند.

**کلمات کلیدی:** جایگزیدگی اندرسون، امواج الکترومغناطیسی، روش ماتریس انتقال، مدل دوتایی بی‌نظم، همبستگی بلند برد

## فهرست مطالب

| عنوان                                             | صفحه |
|---------------------------------------------------|------|
| فصل اول: نگاهی کلی بر موضوع                       |      |
| ۱-۱. مقدمه                                        | ۲    |
| ۱-۲. مدل اندرسون                                  | ۲    |
| ۱-۳. ردهبندی متامواد                              | ۴    |
| ۱-۴. ساختار مواد متأ                              | ۴    |
| فصل دوم: نظریه متامواد و کاربردها                 |      |
| ۲-۱. مقدمه                                        | ۹    |
| ۲-۲. معادلات ماکسول                               | ۹    |
| ۲-۳. سرعت گروه و سرعت فاز                         | ۱۳   |
| ۲-۴. معکوس شدن پدیده‌های اپتیکی بنیادی در متامواد | ۱۴   |
| ۲-۴-۱. عکس شدن قانون اسنل دکارت در مواد متأ       | ۱۶   |
| ۲-۴-۲. معکوس شدن اثر دوپلر در مواد متأ            | ۱۸   |
| ۲-۴-۳. معکوس شدن واگرایی و همگرایی در عدسی‌ها     | ۱۹   |
| ۲-۵. نتیجه‌گیری فصل                               | ۲۱   |
| فصل سوم: ابر شبکه‌ها و ماتریس انتقال              |      |
| ۳-۱. مقدمه                                        | ۲۳   |
| ۳-۲. ماتریس انتقال                                | ۲۳   |
| ۳-۳. ضرایب عبور، جذب و بازتاب                     | ۲۷   |
| ۳-۴. حد عبور                                      | ۲۸   |

|    |                                                                          |
|----|--------------------------------------------------------------------------|
| ۳۰ | ۵-۱. ابرشبکه دوره‌ای.....                                                |
| ۳۳ | ۶-۱. طول جایگزیدگی.....                                                  |
|    | <b>فصل چهارم: بررسی عددی خواص عبور انواع ابر شبکه</b>                    |
| ۳۵ | ۴-۱. مقدمه .....                                                         |
| ۳۵ | ۴-۲. بررسی خواص عبور ابرشبکه‌های دوره‌ای از مواد مختلف.....              |
| ۳۵ | ۴-۲-۱. ساختارهای دوره‌ای و محدود از مواد معمولی و متا بدون پراکنش .....  |
| ۳۶ | ۴-۲-۲. ساختارهای دوره‌ای و محدود از مواد معمولی بدون پراکنش و اتلاف..... |
| ۳۷ | ۴-۲-۳. ابرشبکه متناوب و مختلط از مواد پراکننده و بدون اتلاف .....        |
| ۳۹ | ۴-۲-۴. ساختارهای دوره‌ای از مواد معمولی و متای پراکننده و اتلافی .....   |
| ۴۰ | ۴-۳. بررسی خواص عبور انواع ابرشبکه بی‌نظم .....                          |
| ۴۰ | ۴-۳-۱. بی‌نظمی در مکان قرار گرفتن لایه‌ها .....                          |
| ۴۱ | ۴-۳-۲. طول جایگزیدگی .....                                               |
| ۴۲ | ۴-۳-۳. سیستمی با بی‌نظمی در ضخامت لایه‌ها .....                          |
| ۴۴ | ۴-۴. ابرشبکه‌های دوتایی با شرط $ n_a d_a  = \frac{5}{3}  n_b d_b $ ..... |
| ۴۵ | ۴-۴-۱. نتایج عددی برای ضریب عبور .....                                   |
| ۴۷ | ۴-۴-۲. رفتار متوسط ضریب عبور در ابرشبکه‌های نامحدود .....                |
| ۴۸ | ۴-۴-۳. رفتار طول جایگزیدگی در نزدیکی مد رزونانسی .....                   |
| ۴۹ | ۴-۴-۴. اثر شدت بی‌نظمی بر خواص عبور .....                                |
| ۵۲ | ۴-۵. ابرشبکه‌های دوتایی از مواد معمولی به صورت دوره‌ای و بی‌نظم .....    |
| ۵۲ | ۴-۵-۱. نتایج عددی برای ضریب عبور .....                                   |
| ۵۴ | ۴-۵-۲. طول جایگزیدگی در مجاورت مد نصف طول موج .....                      |
| ۵۴ | ۴-۵-۳. چگونگی رفتار متوسط طیفی عبور بر حسب $\sqrt{N}$ .....              |

|                                                                                                |  |
|------------------------------------------------------------------------------------------------|--|
| ۴-۵-۴. چگونگی رفتار طول جایگزیدگی در نزدیکی مدرع طول موج ..... ۵۵                              |  |
| ۴-۵-۵. اثر شدت بی‌نظمی در متوسط طیفی ضریب عبور ..... ۵۶                                        |  |
| ۴-۶. بررسی خواص عبور سیستم‌های دوتایی دوره‌ای و بی‌نظم ساخته شده از مواد متای تک منفی ..... ۵۷ |  |
| ۴-۶-۱. نتایج عددی برای سیستم ساخته شده از مواد متای تک منفی ..... ۵۷                           |  |
| ۴-۶-۲. نتایج عددی برای سیستم ساخته شده از مواد معمولی ..... ۵۹                                 |  |
| ۴-۶-۳. نتایج ..... ۶۰                                                                          |  |
| <b>فصل پنجم: خواص جایگزیدگی امواج در سیستم‌های شامل مواد متا، در حضور همبستگی بلندبرد</b>      |  |
| ۴-۱. مقدمه ..... ۶۳                                                                            |  |
| ۴-۲. محاسبات عددی ..... ۶۳                                                                     |  |
| ۴-۳. نتایج ..... ۶۷                                                                            |  |
| <b>فصل ششم: نتیجه‌گیری</b>                                                                     |  |
| ۶-۱. نتیجه‌گیری ..... ۶۹                                                                       |  |
| <b>پیوست</b>                                                                                   |  |
| الف- تولید نویز با همبستگی دلخواه ..... ۷۲                                                     |  |
| ب- ماتریس انتقال برای حالت برخورد عمودی ..... ۸۲                                               |  |
| منابع و مأخذ ..... ۹۱                                                                          |  |

## فهرست شکل‌ها

| صفحه | عنوان                                                                                                                                                                    |
|------|--------------------------------------------------------------------------------------------------------------------------------------------------------------------------|
| ۶    | شکل ۱-۱: ساختار متاموادی با ضریب گذردی منفی (شکل $a$ ). ساختار متاموادی با ضریب تراوایی منفی (شکل $b$ ).....                                                             |
| ۶    | شکل ۱-۲: ساختار موادی با ضریب گذردی و ثابت تراوایی منفی.....                                                                                                             |
| ۱۳   | شکل ۲-۱: نمودار ( $a$ ) برای مواد $LHM$ و $RHM$ و نمودار ( $b$ ) برای مواد                                                                                               |
| ۱۵   | شکل ۲-۲: نمودار $\tilde{\mu}_r$ و $\tilde{\mu}_i$ (قسمتهای حقیقی ضریب گذردی نسبی و ثابت تراوایی نسبی) ناحیه یک مربوط به مواد معمولی و ناحیه سه مربوط به مواد $LHM$ ..... |
| ۱۶   | شکل ۲-۳: سطح مشترک بین مواد $LHM$ و $RHM$ و زاویه شکست منفی .....                                                                                                        |
| ۱۷   | شکل ۲-۴: شکست موج الکترومغناطیسی در سطح مشترک مواد معمولی.....                                                                                                           |
| ۱۷   | شکل ۲-۵: شکست موج الکترومغناطیسی در سطح مشترک مواد معمولی و متا.....                                                                                                     |
| ۱۹   | شکل ۲-۶: اثر دوپلر برای منبع موج واقع در ماده متا.....                                                                                                                   |
| ۱۹   | شکل ۲-۷: اثر دوپلر برای منبع موج واقع در ماده معمولی.....                                                                                                                |
| ۲۰   | شکل ۲-۸: یک قالب مستطیلی از ماده متا، نور یک منبع نقطه‌ای را در دو نقطه مرکزی کند.....                                                                                   |
| ۲۰   | شکل ۲-۹: عدسی کوز(همگرایی) که از ماده متا ساخته شده است.....                                                                                                             |
| ۲۱   | شکل ۲-۱۰: عدسی کاو(واگرایی) که از ماده متا ساخته شده است.....                                                                                                            |
| ۲۴   | شکل ۳-۱: یک ابر شبکه با $q$ لایه.....                                                                                                                                    |
| ۲۸   | شکل ۳-۲: یک ساختار دوره‌ای که هر دوره $p$ لایه دارد.....                                                                                                                 |
| ۳۱   | شکل ۳-۳: یک ساختار دوره‌ای، مركب از دو ماده با ضریب شکست $n_1$ و $n_2$ .....                                                                                             |

## فهرست نمودارها

| عنوان                                                                                                                                                                                          |    |
|------------------------------------------------------------------------------------------------------------------------------------------------------------------------------------------------|----|
| صفحه                                                                                                                                                                                           |    |
| نمودار ۱-۴: ضریب عبور بر حسب فرکانس برای ۸ لایه                                                                                                                                                | ۳۶ |
| نمودار ۲-۴: $T$ بر حسب فرکانس برای دو نوع ماده معمولی                                                                                                                                          | ۳۶ |
| نمودار ۳-۴: ضریب گذردهی و ثابت تراوایی بر حسب فرکانس                                                                                                                                           | ۳۷ |
| نمودار ۴-۴: $T$ بر حسب فرکانس برای یک ساختار دوره‌ای که ماده متا، پراکننده است                                                                                                                 | ۳۸ |
| نمودار ۵-۴: ساختار نواری برای یک ابرشبکه از مواد معمولی و دو منفی بر حسب زاویه برخورد (محور عمودی) و فرکانس (محور افقی)                                                                        | ۳۸ |
| نمودار ۶-۴: ضریب عبور بر حسب فرکانس برای حالت ماده متای پراکننده و اتلافی                                                                                                                      | ۳۹ |
| نمودار ۷-۴: $T$ بر حسب طول موج فرودی برای نسبت‌های مختلف از مواد معمولی و متا                                                                                                                  | ۴۱ |
| نمودار ۸-۴: طول جایگزینی‌گی بر حسب فرکانس برای سیستم دوتایی مرکب از مواد دومثبت و دو منفی                                                                                                      | ۴۱ |
| نمودار ۹-۴: $\overline{Tr}[M]$ بر حسب فرکانس برای ضریب‌های بی‌نظمی مختلف                                                                                                                       | ۴۳ |
| نمودار ۱۰-۴: طول جایگزینی‌گی در یک سیستم دوره‌ای و یک سیستم با بی‌نظمی در پهنه‌ای لایه‌ها                                                                                                      | ۴۴ |
| نمودار ۱۱-۴: ضریب عبور $T$ بر حسب بسامد زاویه‌ای برای ابرشبکه باینری از مواد معمولی                                                                                                            | ۴۶ |
| نمودار ۱۲-۴: ضریب عبور $T$ بر حسب بسامد زاویه‌ای برای ابرشبکه از مواد معمولی و متا                                                                                                             | ۴۷ |
| نمودار ۱۳-۴: متوسط ضریب عبور $<T>$ بر حسب تعداد لایه‌ها برای ابرشبکه معمولی، نشان می‌دهد به صورت $1/\sqrt{N}$ افت می‌کند، نمودار سیز نمودار $1/\sqrt{N}$ می‌باشد.                              | ۴۸ |
| نمودار ۱۴-۴: متوسط ضریب عبور بر حسب طول ابرشبکه آمیخته که نشان می‌دهد به صورت $N/1$ افت می‌کند نمودار سیز رنگ نمودار $N/1$ می‌باشد.                                                            | ۴۸ |
| نمودار ۱۵-۴: نمودار طول جایگزینی‌گی بر حسب $ \omega_{۵۳} - \omega $ که نشان می‌دهد به شکل توان دو به فرکانس رزونانسی نزدیک می‌شود. خط سیز نمودار $ \omega_{۵۳} - \omega $ را نشان می‌دهد.      | ۴۹ |
| نمودار ۱۶-۴: متوسط طیفی عبور بر حسب شدت بی‌نظمی، برای ابرشبکه‌ای از مواد معمولی (نمودار نارنجی) و ابرشبکه‌ای از مواد معمولی و متا (نمودار سیز)                                                 | ۵۰ |
| نمودار ۱۷-۴: ضریب عبور $T$ بر حسب $ \omega_{۵۳} - \omega $ که $\omega_{۵۳}$ مدد رزونانسی با ضریب عبور یک است. نمودار برای شدت بی‌نظمی $q$ های مختلف رسم شده است. (ابرب شبکه‌ای از مواد معمولی) | ۵۰ |

نمودار ۱۸-۴: ضریب عبور  $T$  بر حسب  $|\omega - \omega_0|$  که  $\omega_0$  مد رزونانسی با ضریب عبور یک است. نمودار برای شدت بی نظمی  $q$  های مختلف رسم شده است که مقدار شدت بی نظمی ها کوچک می باشد. (ابرشبکه ای از مواد معمولی و مواد متا) ..... ۵۱

نمودار ۱۹-۴: ضریب عبور  $T$  بر حسب  $|\omega - \omega_0|$  که  $\omega_0$  همان مد رزونانسی با ضریب عبور یک است. نمودار برای شدت بی نظمی  $q$  های مختلف رسم شده است که مقدارهای شدت بی نظمی بزرگ می باشد (ابرشبکه ای از مواد معمولی و متا مواد) ..... ۵۱

نمودار ۲۰-۴: ضریب عبور  $T$  بر حسب  $\frac{\theta}{\theta_0}$  که  $\theta$  فرکانس موج فرودی و  $\theta_0$  فرکانس موج الکترومغناطیسی در خلا می باشد (ابرشبکه دوره ای از مواد معمولی به طول ۱۰۰۰ می باشد) ..... ۵۲

نمودار ۲۱-۴: ضریب عبور  $T$  بر حسب  $\frac{\theta}{\theta_0}$  که  $\theta$  فرکانس موج فرودی و  $\theta_0$  فرکانس موج الکترومغناطیسی در خلا می باشد (ابرشبکه بی نظم از مواد معمولی به طول ۱۰۰۰ می باشد) ..... ۵۳

نمودار ۲۲-۴: طول جایگزیدگی  $\ell$  بر حسب  $|1/\sqrt{2} - \frac{\theta}{\theta_0}|$  که نشان می دهد وقتی به مدنصف طول موج با ضریب عبور ۱ نزدیک می شویم، طول جایگزیدگی به صورت تابع  $|1/\sqrt{2} - \frac{\theta}{\theta_0}|^2$  و اگرا می شود. نمودار سبز رنگ تابع  $|1/\sqrt{2} - \frac{\theta}{\theta_0}|^2$  را نشان می دهد ..... ۵۴

نمودار ۲۳-۴: متوسط عبور در اطراف مدد ربع طول موج بر حسب  $\sqrt{N}$  (نمودار قرمز رنگ). نمودار تابع  $e^{-0.14\sqrt{N}}$  بر حسب  $\sqrt{N}$  (نمودار سبز رنگ) دو نمودار بالا نشان می دهند که متوسط عبور در اطراف ربع طول موج بر حسب  $N$  به صورت یک تابع نمایی رفتار می کند ..... ۵۵

نمودار ۲۴-۴: طول جایگزیدگی  $\ell$  بر حسب  $|1/\sqrt{4} - \frac{\theta}{\theta_0}|$  که نشان می دهد وقتی به مدد ربع طول موج با ضریب عبور کمتر از ۱ می رسیم طول جایگزیدگی به صورت تابع  $|1/\sqrt{4} - \ln \left| \frac{\theta}{\theta_0} \right|^{\frac{1}{2}}$  و اگرا می شود. نمودار سبز رنگ، تابع  $|1/\sqrt{4} - \ln \left| \frac{\theta}{\theta_0} \right|^{\frac{1}{2}}$  را نشان می دهد ..... ۵۵

نمودار ۲۵-۴: متوسط طیفی عبور در همسایگی مدنصف طول موج بر حسب شدت بی نظمی  $q$  ..... ۵۶

نمودار ۲۶-۴: متوسط طیفی عبور در همسایگی مدد ربع طول موج بر حسب شدت بی نظمی  $q$  ..... ۵۷

نمودار ۲۷-۴: ساختار نواری که ناحیه گاف و عبور را نشان می دهد. خطهای آبی مرز ناحیه عبور را مشخص می کنند ..... ۵۸

نمودار ۲۸-۴: طول جایگزیدگی بر حسب فرکانس زاویه ای. نمودار قرمز برای یک سیستم بی نظم است که برای ناحیه من نوع و عبور کشیده شده است. نمودار مشکی برای یک سیستم دوره ای می باشد که فقط برای ناحیه گاف رسم شده است. خطوط سبز مرز ناحیه های عبور و گاف را مشخص می کنند ..... ۵۸

نمودار ۲۹-۴: ساختار نواری که ناحیه گاف و عبور را نشان می دهد. خطهای آبی مرز ناحیه عبور را مشخص می کنند ..... ۵۹

|                                                                                                                                                                                                                                                                                |    |
|--------------------------------------------------------------------------------------------------------------------------------------------------------------------------------------------------------------------------------------------------------------------------------|----|
| نمودار ۴-۳: طول جایگزیدگی بر حسب فرکانس زاویه‌ای. نمودار نارنجی برای یک سیستم<br>بی‌نظم است که برای ناحیه ممنوع و عبور کشیده شده است. نمودار آبی برای یک سیستم<br>دوره‌ای می‌باشد که فقط برای ناحیه گاف رسم شده است. خطوط سبز مرز ناحیه‌های عبور و<br>گاف را مشخص می‌کنند..... | ۵۹ |
| نمودار ۴-۴: میدان الکتریکی بر حسب طول سیستم، برای مواد تک منفی.....                                                                                                                                                                                                            | ۶۰ |
| نمودار ۵-۱: طول جایگزیدگی بر حسب بسامد زاویه‌ای برای حالت‌های دارای همبستگی بلندبرد<br>با ضریب‌های همبستگی مختلف برای سیستمی از مواد تک منفی.....                                                                                                                              | ۶۴ |
| نمودار ۵-۲: طول جایگزیدگی بر حسب بسامد زاویه‌ای برای حالت‌های دارای همبستگی بلندبرد<br>با ضریب‌های همبستگی مختلف برای سیستمی از مواد دو منفی.....                                                                                                                              | ۶۴ |
| نمودار ۵-۳: طول جایگزیدگی بر حسب بسامد زاویه‌ای برای حالت‌های دارای همبستگی بلندبرد<br>با ضریب‌های همبستگی مختلف برای سیستمی از مواد معمولی.....                                                                                                                               | ۶۵ |
| نمودار ۵-۴: طول جایگزیدگی بر حسب بسامد زاویه‌ای برای حالت‌های دارای همبستگی بلندبرد<br>با ضریب‌های همبستگی مختلف برای سیستمی از مواد معمولی و دو منفی.....                                                                                                                     | ۶۵ |
| نمودار ۵-۵: طول جایگزیدگی بر حسب بسامد زاویه‌ای برای حالت‌های دارای همبستگی بلندبرد<br>با ضریب‌های همبستگی مختلف برای سیستمی از مواد دو منفی و تک منفی.....                                                                                                                    | ۶۶ |
| نمودار ۵-۶: طول جایگزیدگی بر حسب بسامد زاویه‌ای برای حالت‌های دارای همبستگی بلندبرد<br>با ضریب‌های همبستگی مختلف برای سیستمی از مواد معمولی و تک منفی.....                                                                                                                     | ۶۶ |

فصل اول

## نگاهی کلی بر موضوع

## ۱-۱-مقدمه

رسانندگی الکتریکی در مواد جامد با تداخل سازنده در پراکنده‌گی‌های مختلف در ماده توضیح داده می‌شود. وجود بینظمی در ماده، رسانندگی الکترون را به تاخیر می‌اندازد، برای بعضی مقادیر انرژی، موج الکترون جایگزیده می‌شود. این پدیده اولین بار توسط اندرسون<sup>۱</sup> [۱] در سال ۱۹۵۸ مطرح شده و در دهه‌های اخیر بسیار به آن پرداخته شده است. در این فصل به معرفی مدل اندرسون، معرفی متاماد و دسته بندی آنها می‌پردازیم.

## ۱-۲-مدل اندرسون

مدل اندرسون یک هامیلتونی تنگبست<sup>۲</sup> به شکل زیر است.

$$H = \sum_i |i\rangle V(i) \langle i| + t \sum_{\langle i,j \rangle} |i\rangle \langle j| \quad (1-1)$$

که انرژی هر نقطه از شبکه  $V(i)$  مقداری تصادفی دارد و از یک توزیع یکنواخت در بازه‌ی  $[-\frac{W}{2}, \frac{W}{2}]$  به دست می‌آید. اندرسون ایده جایگزیدگی الکترون را بدین صورت مطرح کرد؛ برای ناخالصی‌هایی که از یک مقدار بحرانی  $W_c$  بیشتر هستند، پراکنده‌گی در حرکت الکترون‌ها باعث کند شدن حرکت آن‌ها می‌شود. این کند شدن در حرکت الکترون‌ها باعث تبدیل ماده از حالت رسانا به نارسانا می‌شود و به گذار فاز فلز-عایق معروف است. برای مدل اندرسون این گذار فاز در سه بعد اتفاق می‌افتد. او در اولین مقاله خود که در سال ۱۹۵۸ ارائه کرد[۱]، از بین رفتن پخش و در نتیجه رسانندگی را به عنوان معیاری برای جایگزیدگی معرفی کرد، اما در همان مقاله جایگزیدگی اندرسون ویژگی‌های دیگری

<sup>1</sup>-Aderson

<sup>2</sup>-Tight binding

داشت. برای اینکه جایگزیدگی اندرسون اتفاق بیفتد باید همه حالت‌های الکترونی توسط بی‌نظمی مانند حالت‌های مقید و نه حالت‌های گستردۀ بلاخ جایگزیده شوند. در واقع هامیلتونی این مدل، ویژه‌مقدارهای دارد که به هم بسیار نزدیک‌اند و ویژه‌تابع‌ها جایگزیده و افت نمایی دارند. مات<sup>[۱]</sup> یوفه و رجل<sup>[۲]</sup> پیش‌بینی کردند که این گذار وقتی اتفاق می‌افتد، که طول پویش آزاد میانگین از طول موج دوبروی الکترون کوچکتر باشد. سپس با همکاری اندرسون تئوری مقیاسی جایگزیدگی را ارائه کردند<sup>[۳]</sup>. در تئوری آنها همه‌ی حالت‌ها در یک بعد و دو بعد جایگزیده بودند. و بنابرین انتظار هیچ گذاری در این بعد نبود. ولی نتیجه در سه بعد با پیش‌بینی اندرسون مطابق بود و گذار عایق به فلز را در این بعد تایید می‌کرد.

جایگزیدگی امواج کلاسیک اولین بار توسط جان<sup>[۴]</sup> در مقاله‌ای<sup>[۵]</sup> با عنوان "جایگزیدگی نور" و همین طور توسط اندرسون با عنوان "پرسش جایگزیدگی کلاسیکی؛ نقاشی سفید"<sup>[۶]</sup> مطرح شد. متاسفانه در عمل پیدا کردن ماده‌ای که در آن امواج کلاسیک طول پویش آزاد میانگین کوچکی داشته باشند آسان نیست. برای امواج کلاسیک سطح مقطع پراکندگی در مقایسه با الکترون خیلی کوچک است که این باعث می‌شود که پراکنده‌سازها کمتر موثر باشند. همین طور در امواج کلاسیک جذب بالایی وجود دارد که در بسیاری از آزمایش‌ها کوشش بر این است که جذب را به حداقل برسانند. در مورد نور پارامتر مهمی که در کنترل است ضریب بازتاب است. جان فهمید که مزیتی که الکترون‌ها دارند این است که در انرژی‌های کوچک نزدیک لبه‌ی باند انرژی‌شان، حالت‌های جایگزیده دارند و به این ترتیب او کریستال‌های فوتونیک با بی‌نظمی را برای انتشار موج الکترومغناطیس در نظر گرفت و جایگزیدگی اندرسون را در کریستال‌های سه بعدی فوتونیک مشاهده کرد. ساختارهای دی-الکتریکی در ابعاد میکرون دارای بازه‌ای از فرکانس‌های غیر مجاز می‌باشد که در آن بازه هیچ مدد الکترومغناطیسی انتشار نمی‌یابد و این بازه، گاف فوتونیکی نامیده می‌شود. این ساختارهای میکرونی شامل آرایه‌ای از دی-الکتریک‌های کروی یا استوانه‌ای هستند که ابعاد آن‌ها قابل مقایسه با طول موج نور است. با وارد کردن ناخالصی در شبکه‌ی فوتونیک برای فرکانس‌هایی که قبل غیر مجاز بودند، حالت‌های جایگزیده مشاهده می‌شود. مشابه این پدیده در انتشار الکترون‌ها در نیمه رساناها مشاهده می‌شود. در نزدیکی گذار اندرسون شدت نور عبوری با عکس ضخامت نمونه به توان دو مناسب است. در حالت‌های جایگزیده شدت نور عبوری به صورت نمایی با ضخامت افت می‌کند<sup>[۷]</sup>.

<sup>۱</sup> - N. F. Mott

<sup>۲</sup> - A. F. Ioffe, A. R. Regel

<sup>۳</sup> - S. John

## ۱-۱-ردی بندی مواد متا

مواد متا، مواد مرکبی هستند، که انواعی از آنها به طور مصنوعی ساخته می‌شود. خواص منحصر به فردی دارند که در طبیعت یافت نمی‌شود. مواد چپ‌گرد<sup>۱</sup> یک زیر مجموعه از مواد متا هستند، که در آن‌ها بردار انتشار و بردار چگالی شار انرژی پادموازی هستند. که این منتهی به شکست منفی می‌شود. متامواد چپ‌گرد (*LHM*) در سالهای اخیر به علت کاربردهای جدید و خواص فیزیکی منحصر به فرد مطالعه شده‌اند [۸]. مواد با ضریب‌شکست منفی<sup>۲</sup> (*NIM*) زیرمجموعه‌ای از مواد متا هستند. این مواد علاوه بر نشان دادن شکست منفی، به علت اینکه در این مواد ضریب شکست منفی است، منجر به ساخت وسایل اپتیکی جدید مثل عدسی‌های کامل<sup>۳</sup> می‌شوند [۹]. مواد دو منفی<sup>۴</sup> (*DNM*) نیز زیرمجموعه‌ای از مواد متا هستند، که در این مواد بخش حقیقی ضریب نفوذ پذیری الکتریکی و ثابت تراوایی مغناطیسی، منفی می‌باشد. از خواص فیزیکی غیر عادی مواد دارای ضریب شکست منفی (*NIM*)، می‌توان به معکوس شدن اثر دوپلر اشاره کرد. قابل ذکر است که اسمی *LHM* و *NIM* در مقالات به جای هم به کار برده می‌شوند. یک دسته دیگر از متامواد، مواد متای تک منفی<sup>۵</sup> (*SNG*) هستند. که در آنها ضریب گذردهی الکتریکی یا ثابت تراوایی مغناطیسی، منفی است. اگر ضریب گذردهی الکتریکی منفی باشد، به آنها مواد *ENG*<sup>۶</sup> و اگر ثابت تراوایی مغناطیسی منفی باشد، به آنها مواد *MNG*<sup>۷</sup> می‌گویند.

## ۱-۲-ساختار مواد متا

برای ساخت موادی با ضریب گذردهی الکتریکی و ثابت تراوایی مغناطیسی منفی، ابتدا ساختاری با فقط ضریب گذردهی منفی و ساختاری با فقط ثابت تراوایی منفی را توضیح می‌دهیم. سرانجام نشان می‌دهیم که موادی با ضریب گذردهی و ثابت تراوایی منفی ترکیبی از این دو نوع مواد می‌باشند.

<sup>1</sup> - Left-Handed Material

<sup>2</sup> - Negative Index Material

<sup>3</sup> - Perfect Lensing

<sup>4</sup> - Double-Negative Material

<sup>5</sup> - Single-Negative Material

<sup>6</sup> - Epsilon-Negative Material

<sup>7</sup> - Mu-Negative Material

موادی با ضریب گذردگی منفی، یک آرایه از سیم‌های فلزی بلند و باریک  $WS^1$  می‌باشند که در فاصله  $p$  از هم قرار دارند. و شعاع هریک  $r^2$  می‌باشد(شکل ۱-۱). این پارامترها کوچکتر از طول موج برخوردی می‌باشند. برای ضریب گذردگی نسبی این مواد رابطه زیر را داریم:

$$\varepsilon_r(\omega) = 1 - \frac{\omega_{pe}^2}{\omega^2 - i\omega\gamma_e} \quad (2-1)$$

که  $\omega_{pe}$  فرکانس پلاسمای الکتریکی و  $\gamma_e$  ضریب میرایی الکتریکی ماده است. این پارامترها به ویژگی‌های ساختاری ماده( $p$  و  $r$ ) وابسته هستند. از معادله بالا داریم:

$$\omega < \sqrt{\omega_{pe}^2 - \gamma_e^2} \quad \rightarrow \quad Re[\varepsilon_r(\omega)] < 0. \quad (3-1)$$

موادی با ثابت تراوایی منفی، یک آرایه از عنصرهای فلزی دایره‌ای شکاف دار  $SRR^3$  می‌باشند(شکل ۱-۱). که فاصله بین مراکز هر دو عنصر دایره‌ای  $p$  است. بزرگی این عناصر در حدود طول موج برخوردی می‌باشد. برای ثابت تراوایی این مواد رابطه زیر را داریم:

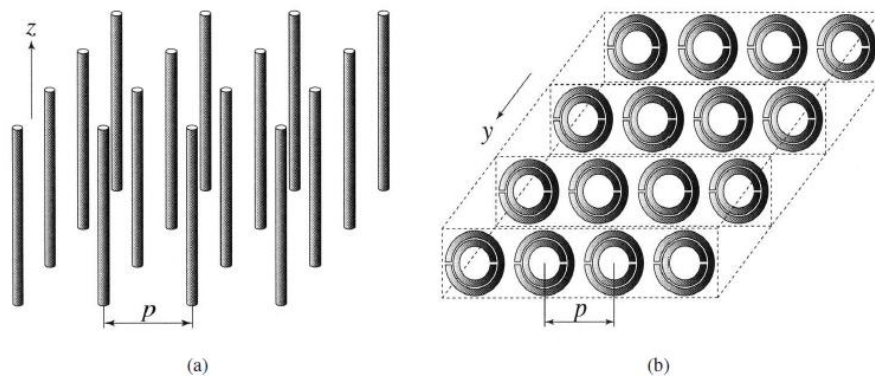
$$\mu_r(\omega) = 1 - \frac{F\omega^2}{\omega^2 - \omega_{pm}^2 - i\omega\gamma_m} \quad (4-1)$$

که در رابطه بالا  $\omega_{pm}$  فرکانس رزونانسی مغناطیسی،  $\gamma_m$  پارامتر میرایی مغناطیسی و  $F$  پارامتری است که به فواصل  $p$  وابسته است. اگر  $\omega_{pm} = \frac{\omega_m}{\sqrt{1-F}}$  داریم:

$$Re[\mu_r(\omega)] < 0. \quad (5-1)$$

<sup>1</sup> - Wire Structure

<sup>2</sup> - Split Ring Resonator



شکل ۱-۱: ساختار مواد متا با ضریب گذردهی الکتریکی منفی (شکل a). ساختار مواد متا با ثابت تراویی مغناطیسی منفی (شکل b).

مواد متا با ضریب گذردهی و ثابت تراوایی منفی، ترکیبی از دو ساختار شکل ۱-۱ می باشند(شکل ۱-۲).



شکل ۱-۲: ساختار مواد متا با ضریب گذردهی و ثابت تراوایی منفی [۱۵].

به لحاظ تاریخی شکست منفی نور و امواج دیگر برای اولین بار به وسیله مندل استم<sup>۱</sup> در سال ۱۹۴۵ بررسی شد. در سال ۱۹۶۸ وسالگو<sup>۲</sup> جنبه های مختلف شکست منفی از جمله معکوس شدن قانون اسنل – دکارت و اثر دوپلر را معرفی کرد [۱۰].

<sup>۱</sup> - Mandelstam

<sup>۲</sup>- Veselago